



مطالعه تاثیر افزودنی هگزان بر شکل گیری مایسل‌های P123 در سل تیتانیای مزوساختار با آنالیز DLS

عالیه افضل القوم^۱، لیلا سمیعی^۲، علی بیت‌اللهی^۱، سید محمد میرکاظمی^۱

^۱ گروه سرامیک، دانشکده مهندسی مواد و متالورژی، دانشگاه علم و صنعت ایران،

^۲ پژوهشکده توسعه و بهینه سازی فناوری‌های انرژی، پژوهشگاه صنعت نفت

a_afzalalghom@metaleng.iust.ac.ir

چکیده: در این تحقیق سل‌های پایدار تیتانیای مزوساختار با استفاده از قالب گیرهای نرم مایسل‌های کوپلیمر بلوكی P123 و به کارگیری هم زمان هیدرولیز کنترل شده پیش ماده تیتانیم اینوپرپوکساید (TTIP) در محیط الکلی سنتز شدند. به منظور بررسی تاثیر افزودنی هگزان بر ویژگی‌های سلو تجمع‌های یونیمیرهای P123 از دو نسبت مولی هگزان به سل و به P123 معادل ۶۰ و ۲۴۰ نیز در ترکیب سل استفاده گردید. اثر عوامل فرایندی مانند مرحله افزودن هگزان به سل و زمان پیرسازی آن در دمای ۵۰°C (در زمان‌های ۱ روز و ۱۴ روز)، علاوه بر نسبت مولی هگزانبر توزیع اندازه ذرات و خوش‌های تشکیل شده به وسیله تکنیک پراکنده نور دینامیک (DLS) مورد مطالعه قرار گرفت. بررسی منحنی‌های DLS مربوط به اثر مرحله افزودن هگزان نشان داد که بهترین نتایج از لحاظ بزرگ‌تر شدن اندازه خوش‌های یونیمیری پلیمر و پیوستن دوتایی‌ها به یکدیگر و تشکیل مایسل، با افزودن هگزان به محلول حاوی پیش ماده تیتانیمی در مقایسه با افزودن آن به محلول پلیمری P123 یا پس از تکمیل هیدرولیز به دست می‌آید.

مقایسه منحنی‌های حاصل از دون ہگزان با سل‌های محتوی هگزان در هر دو نسبت مولی نشان داد که در حضور هگزان، توزیع اندازه خوش‌های یونیمیری ایجاد شده به اندازه‌های کوچک‌تر انتقال یافته است؛ به نحوی که افزودنی هگزان با نسبت مولی ۲۴۰ از اتصال و مجتمع شدن یونیمیرها به شکل مایسل مانع نمود. اگرچه در نسبت مولی ۶۰ در مقایسه با نسبت مولی ۲۴۰، وضعیت متفاوتی به لحاظ تشکیل خوش‌های یونیمیری ایجاد شد و توزیع اندازه اجزا به اندازه مایسل‌ها رسید. همچنین بررسی منحنی‌های حاصل از آنالیز DLS نشان داد که زمان پیرسازی ۱۴ روز در نسبت مولی ۶۰ موجب تشکیل مایسل‌هایی با توزیع اندازه یکنواخت ۱۹nm گردیده است.

کلید واژه: سل تیتانیا، یونیمیر، مایسل، مزوتخلخل، عامل متورم کننده.

۱- مقدمه

امروزه تاثیر مخرب سوخت‌های فسیلی بر آلودگی محیط زیست و گرم شدن کره زمین به چالشی جهانی تبدیل شده است. آلودگی هوا و اثرات مخرب آن روی موجودات زنده و نیز ورود آلاینده‌های گوناگون سمی به آب‌های سطحی و زیر سطحی علاوه بر هزینه‌های بالای تصفیه آن، تهدیدهایی جدی برای حیات در آینده نزدیک هستند [۱] و [۲]. این معضلات الزام به کارگیری منابع جدید انرژی و نیز فرایندهایی را که با هزینه کم تر بتوانند آب و هوا را تصفیه نمایند، اولویت بخشیده است. یکی از فرایندهایی که امروزه برای تصفیه آب و هوا به عنوان روش جایگزین مورد توجه قرار گرفته است، استفاده از ویژگی فوتوکاتالیستی برخی نیمه هادی‌هاست. این پدیده برای اولین بار توسط فوجیشیما^۱ در سال ۱۹۷۲ هنگام کار با دی‌اکسید

^۱ A. Fujishima

تیتانیم کشف شد. تیتانیا که نیمه هادی نوع n با نوار ممنوعه پهن ($\sim 3/2 \text{ eV}$) می‌باشد، قادر است در نور فرابنفش از خود ویژگی مذکور را نشان دهد؛ به این معنی که با برخورد نور فرابنفش به این ماده جفت‌های الکترون - حفره در ساختار نواری آن ایجاد می‌شوند که این حاملان بار با نفوذ به سطح نیمه هادی قادر خواهند بود با مولکول‌های آب و اکسیژن ترکیب شده و رادیکال‌های آزادی را شکل دهن. رادیکال‌های فعال تولید شده می‌توانند آلاینده‌های موجود در محیط را به مولکول‌های آب و دی اکسید کربن طی واکنش‌های زنجیره‌ای تبدیل نمایند. [۳]

عوامل مختلفی مانند نوع فاز بلورین، میزان بلورینگی و مساحت سطح برای افزایش کارایی تیتانیا در کاربردهای فوتوفکالتالیستی موثر است [۴]. برپایه تحقیقاتی که تا به حال صورت گرفته است، سنتز دی اکسید تیتانیم مزو متخلخل راه حلی برای افزایش مساحت سطح در کنار قابلیت دسترسی به فضای درونی تخلخل‌ها و چارچوب بلورین این نیمه هادی مورد توجه بوده است [۵] و [۶]. مواد مزو متخلخل نسل جدیدی از مواد متخلخل هستند که کانال‌ها و تخلخل‌های آن‌ها در محدوده $2\text{-}50 \text{ nm}$ می‌باشد [۷]. به منظور دسترسی به سطح ویژه بالا در سنتز مواد مزو متخلخل، از روش قالب‌گیری نرم استفاده می‌شود. در این روش ابتدا محلولی از سرفکتانت مورد نظر در حلال آبدوست با غلظتی بیش از غلظت بحرانی مایسلی شدن^۱ تهیه می‌گردد. در چنین حالتی کره‌هایی متشکل از مولکول‌های سرفکتانت ایجاد می‌شوند که در آن‌ها سرهای آبدوست سطح کرده را شکل داده و دم‌ها آب گریز داخل آن قرار گرفته‌اند. به این تجمعات ترجیحی مایسل گفته می‌شود. چنان‌چه هم زمان با این شکل گیری بتوان پیش ماده غیرآلی را نیز به سر مولکول‌های سرفکتانت از طریق هیدرولیز و تراکم متصل نمود، در نهایت و پس از خارج کردن مایسل‌ها، به ساختاری دست یافته می‌شود که در آن مزو متخلخل‌های متعددی به وجود آمده و دیواره آن‌ها را چارچوب‌های غیرآلی تشکیل داده است [۸]. در مورد تیتانیا، اندازه مزو متخلخل‌هایی که تا به حال سنتز شده است، در نهایت به حدود $6\text{-}7 \text{ nm}$ رسیده است [۹]. زیرا قطر حفرات محدود به اندازه مایسل‌ها است؛ گرچه با استفاده از کوپلیمرهای بلوکی با زنجیره‌های بلند تا حدی امکان افزایش اندازه تخلخل‌ها میسر می‌گردد، اما این افزایش معمولاً محدود است [۸]. علت نیاز به افزایش اندازه مزو متخلخل‌ها این است که برای ایجاد پاسخ نور مرئی در تیتانیا علاوه بر نور فرابنفش، نیاز به افزودنی‌هایی مانند نیمه هادی‌های دیگر با نوار ممنوعه باریک‌تر است [۱۰]. چنان‌چه اندازه مزو متخلخل‌های کوچک باشد، با ایجاد اولین لایه از این مواد روی سطح آن‌ها، تخلخل‌ها بسته شده و سطح ویژه به میزان چشم گیری کاهش خواهد یافت [۱۱] و [۱۲]. امروزه با استفاده از مواد آب گریز که به عوامل متورم کننده^۲ معروفند، محققان توانسته‌اند قطر تخلخل‌های سیلیکایی مزو متخلخل را افزایش دهند. یک عامل متورم کننده ماده‌ای غیر قطبی است که وارد هسته آب گریز مایسل‌ها شده و آنها را بزرگ می‌کند. در نتیجه اندازه تخلخل محصول نهایی افزایش می‌یابد [۱۳] و [۱۴]. در سال ۱۹۹۸ ژائو و همکارش توانستند اندازه تخلخل‌های SBA-15 که یک سیلیکایی مزو متخلخل منظم با تخلخل‌های هگزاگونالی سیلندری است را با استفاده از یک عامل متورم کننده شیمیایی از ۵ تا 30 nm تغییر دهند، اما در این بین SBA-15 به فوم مزو متخلخل (MCF^۳) تبدیل شد که در آن هیچ اثری از نظم تخلخل‌ها وجود نداشت [۱۳]. از آن پس سیلیکایی مزو متخلخل فومی توجه بسیاری از محققان را به دلیل سطح ویژه بسیار بالا و اندازه

¹ Critical Micellar Concentration (CMC)

² Swelling agent

³ Mesocellular Foam

تخلخل های بزرگ به خود جلب کردند و از آن ها برای میزبانی دیگر مواد و افزودنی ها و عوامل شیمیایی استفاده شد؛ اما با توجه به مطالعات صورت گرفته، تا به حال برای افزایش اندازه تخلخل های تیتانیای مزومتخلخل از این روش استفاده نشده است. برای رسیدن به ساختار فومی مزوتخلخل ها و افزایش اندازه آن ها در سیستم تیتانیا، قدم اول سنتز سلی است که در آن مایسل های پلیمری در حضور عامل متورم کننده شکل گرفته باشند و اندازه آن ها نیز در مقایسه با سل بدون افزودنی افزایش یافته باشد. بنابراین در تحقیق حاضر تلاش گردید تا تاثیر افزودن عامل متورم کننده هگزان بر سل تیتانیای مزوساختار و تجمع یونیمراهی کوپلیمری از جهت توزیع اندازه با روش پراکندگی نور دینامیک (DLS) مورد مطالعه قرار گیرد.

۲- فعالیت های تجربی

۱-۲- مواد اولیه

تیتانیم ترا ایزوپروپوکساید (TTIP) با خلوص ۹۸٪، n-هگزان ($\text{CH}_3(\text{CH}_2)_4\text{CH}_3$) با خلوص ۹۵٪، اتانول به عنوان حلal (EtOH) با خلوص ۹۹٪، استیل استون (AcAc) و اسید هیدروکلریک خالص (HCl) از شرکت مرک خردباری شدند. کوپلیمربلوکی P123 با وزن مولکولی میانگین 5800 g/mol PO₇₀ EO₂₀ EO₂₀ که به شکل ۱-۲ نیز شناخته می شود، از شرکت سیگما آلدريچ تهیه شد.

۲-۲- سنتز سل

ابتدا محلولی از P123 و اتانول با غلظتی بیشتر از غلظت بحرانی مایسلی شدن (CMC^۱) P123 آماده شد و سپس سلی متشكل از TTIP و AcAc در محیط اتانول تهیه گردید. پس از آن محلول دوم به محلول اول اضافه شد و به مدت ۲ ساعت در دمای محیط بر روی همزن مغناطیسی قرار گرفت تا اجزا کاملاً مخلوط گردند. نسبت مولی اجزای مخلوط شده در سل به این ترتیب بود: ۴۲: ۱: ۰/۰۵۸: ۰/۷۵: ۱: ۰/۰۵۸. TTIP: P123: AcAc: H₂O: EtOH = ۱: ۰/۰۵۸: ۰/۷۵: ۱: ۴۲. بررسی تاثیر میزان هگزان، دو نسبت مولی (H/P) (H/P=۲۴۰ و H/P=۶۰) بر اساس n-Hexane/P123 میانگین مایسل ها، برای نسبت مولی H/P=۲۴۰ در نظر گرفته شد. به منظور بررسی اثر مرحله افزودن هگزان به سل بر نحوه شکل گیری مایسل ها، در حالت در نظر گرفته شد. در حالت اول هگزان به محلول شماره (۱) یعنی محلول حاوی اتانول و P123 اضافه شد، در حالت دوم هگزان به محلول شماره (۲) (متشكل از TTIP، AcAc و اتانول) افزوده شد. در مورد سوم نیز این افزودنی پس از ریختن دو محلول (۱) و (۲) روی هم و هنگام هم خوردن آن ها اضافه گردید. لازم به ذکر است که برای نسبت مولی H/P=۶۰ از روش دوم یعنی اضافه کردن هگزان به محلول pH، سل اتانول استفاده شد. پس از آن واکنش هیدرولیز توسط مخلوط آب و HCl (pH=۰/۵) انجام پذیرفت. بعد از تنظیم pH، سل بدست آمده به مدت ۳ ساعت در دمای محیط بر روی همزن مغناطیسی قرار گرفت. به منظور ارزیابی تاثیر زمان پیرسازی نیز دو زمان ۱ و ۱۴ روز و دمای ۵۰°C در نظر گرفته شد.

سل های تهیه شده در این تحقیق به منظور مطالعه تشکیل مایسل ها و بررسی شرایط آن ها تحت آنالیز پراکندگی نور دینامیک (DLS) قرار گرفتند. برای انجام آنالیز از دستگاه MALVERN Nano ZS90 در دمای ۲۰°C استفاده شد. نمونه های آماده شده طبق جدول ۱ کدگذاری شدند.

^۱ Critical Micellization Concentration

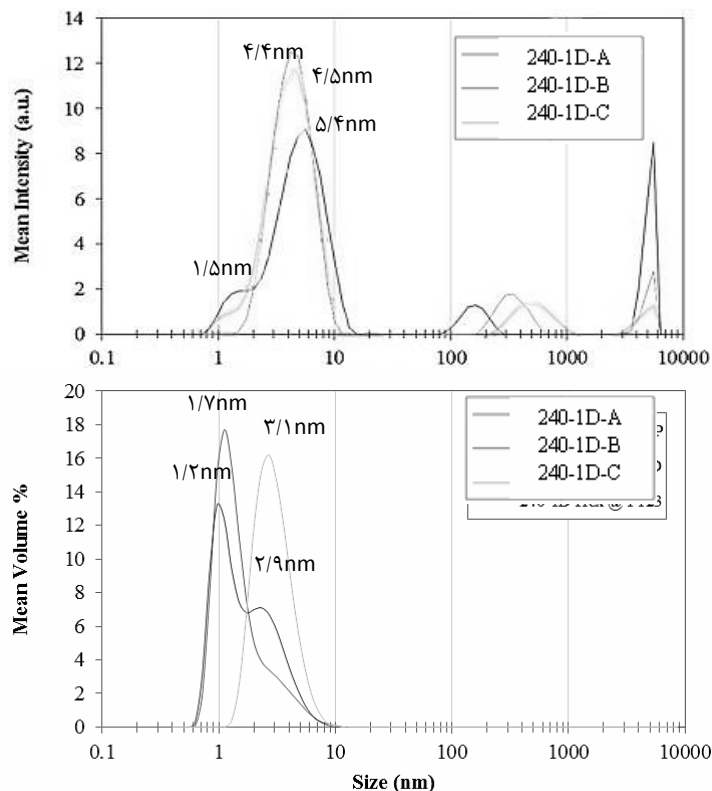
جدول ۱ - کد گذاری سل‌های سنتز شده

توضیح شرایط آماده سازی	کد نمونه
سل بدون هگزان، زمان پیرسازی ۱ روز	0-1D
سل بدون هگزان، زمان پیرسازی ۱۴ روز	0-14D
سل با نسبت مولی H/P=۲۴۰ و زمان پیرسازی ۱ روز- هگزان در محلول اتانول و P123	240-1D-A
سل با نسبت مولی H/P=۲۴۰ و زمان پیرسازی ۱ روز- هگزان در محلول TTIP و AcAc و اتانول	240-1D یا 240-1D-B
سل با نسبت مولی H/P=۲۴۰ و زمان پیرسازی ۱ روز- هگزان در محلوط دو محلول فوق	240-1D-C
نسبت مولی H/P=۲۴۰، زمان پیرسازی ۱۴ روز	240-14D
نسبت مولی H/P=۶۰، زمان پیرسازی ۱ روز	60-1D
نسبت مولی H/P=۶۰، زمان پیرسازی ۱۴ روز	60-14D

۳- نتایج و بحث

۱-۳- بررسی منحنی‌های سل‌های 240-1D و 0-1D

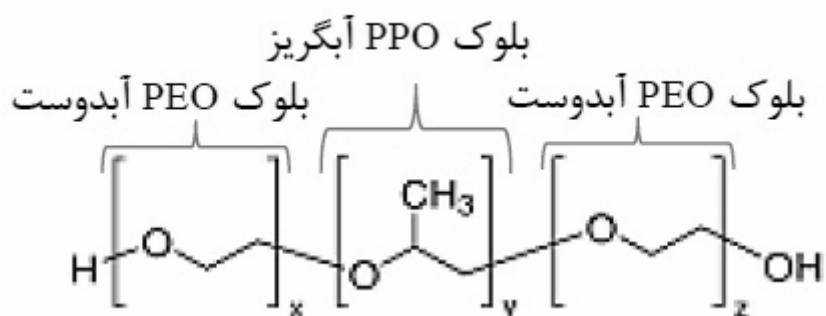
شکل ۱ آنالیز DLS مربوط به سل‌های دسته 240-1D را نشان می‌دهد.



شکل ۱- منحنی‌های حاصل از تست DLS سل‌های 240-1D

با توجه به منحنی‌های شکل ۱ حاصل از تست DLS توزیع اندازه تمام اجزا در محدوده تقریبی ۵-۱۰nm است که این توزیع با توجه به مبانی پایداری سل‌ها و رابطه استوکس در محدوده پایدار قرار دارد [۱۵]؛ چنان که تا مدت ۴ ماه نیز رسوبی در سل‌های آماده شده مشاهده نشد. این مطلب درباره تمامی سل‌های تهیه شده صادق بود. علت این پایداری به نیروهای دافعه بین اجزا برمی‌گردد که بر اساس تحقیقات قبلی در مورد سل‌های کوپلیمرهای بلوکی، نیروهای استریک مانع به هم پیوستن بیش از اندازه اجزا به یکدیگر و ته نشینی است [۱۶].

از آنجایی که منحنی شدت مستقیماً از دستگاه DLS و بدون محاسبات ریاضی به دست می‌آید، دارای اعتبار بیشتری نسبت به منحنی حجم است. لذا در این تحقیق تحلیل نتایج حاصله با توجه به منحنی شدت بر حسب اندازه انجام می‌گیرد. بیشترین اجزا در منحنی شدت اندازه‌هایی در بازه ۴-۵/۴nm دارند. P123 یک کوپلیمر سه بلوکه با دو بلوک آبدوست پلی‌اتیلن اکساید (PEO) در دو سر و یک بلوک آب گریز پلی‌پروپیلن اکساید (PPO) در وسط است (شکل ۲).



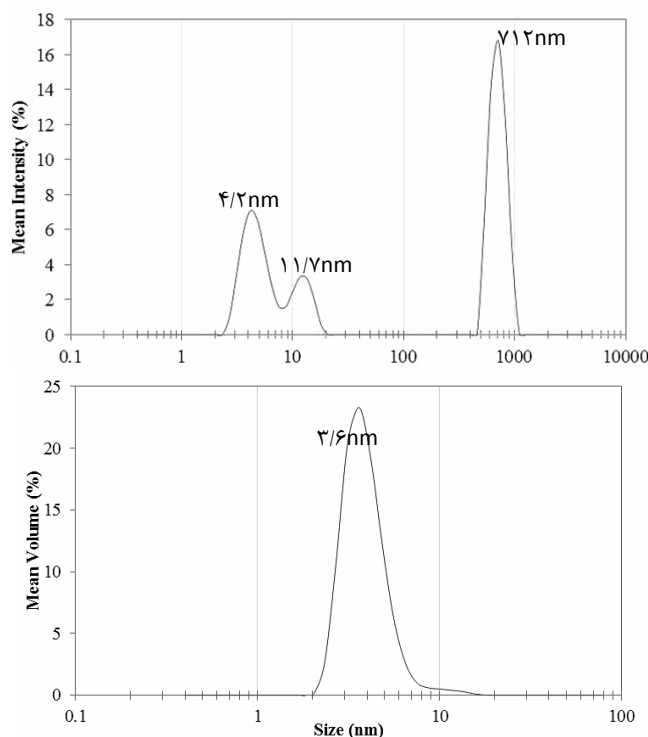
شکل ۲- شماتیک ساختار شیمیایی کوپلیمر بلوکی P123

هنگامی که غلظت یونیمرهای (تک پارهای) P123 در حلال آب دوست اتانول بالاتر از CMC باشد، این زنجیرهای پلیمری به یکدیگر متصل شده و مایسل‌ها را شکل می‌دهند؛ به نحوی که بلوک PPO در وسط قرار گرفته و دو بلوک PEO نیز تاج مایسلی را شکل می‌دهند [۱۶]. بنابر بررسی‌های انجام گرفته روی رفتار مایسلی شدن کوپلیمر سه بلوکه P123 در محیط الكل، اندازه مایسل‌های این پلیمر حدود ۷nm گزارش شده است [۱۶]. همچنین CMC پلیمر P123 در محیط ایزوپروپانول ۱/۷۵٪ وزنی است که با تغییر محیط به اتانول این مقدار کاهش می‌یابد. این در حالی است که در ترکیب سل حاضر درصد وزنی P123 در اتانول ۱۷/۳٪ است که بسیار بالاتر از غلظت بحرانی مایسلی شدن این پلیمر در الكل است [۹]. CMT این پلیمر در الكل نیز معادل ۳۷/۵°C گزارش شده است، در حالی که در این تحقیق سل در ۵۰°C پیرسازی شده است [۱۶]. بنابراین انتظار می‌رود که در سل‌های سنتر شده مایسل‌ها ایجاد شده باشند. از آنجایی که توزیع اندازه هیچ یک از سل‌ها در محدوده اندازه مایسلی قرار ندارد، می‌توان نتیجه گرفت که در هیچ یک از سل‌های 1D-240، یونیمرهای P123 به طور عمده تبدیل به مایسل نشده‌اند و حضور قله‌ها می‌تواند مربوط به اتصال یونیمرهای P123 به هم و تشکیل دوتایی‌ها^۱ و یا خوش‌های یونیمری باشد [۱۶]. همچنین متصل شدن یونیمرها به مولکول‌های هگزان از طریق بلوک PPO نیز احتمال دیگری برای ایجاد قله‌های

^۱ Doublet

مذکور است. چنان که نسبت مولی هگزان به پلیمر در این سل برابر با ۲۴۰ است که بر مبنای تحقیقات انجام شده در مورد استفاده از آن به عنوان عامل تورم زا در سیستم سیلیکایی، در محدوده تشکیل ساختار تخلخلی MCF و افزایش اندازه مزوتخلخله است [۱۷].

در مورد سیستم سیلیکا حضور در ناحیه MCF به این معنی است که مولکول‌های هگزان در هسته آب گریز مایسل‌های P123 یعنی در اتصال با زنجیره PPO گرفته‌اند که در این حالت نه تنها از بین رفتن مایسل‌ها را در پی ندارد، بلکه این فرایند باید منجر به افزایش اندازه آن‌ها نیز بشود [۱۷]. بنابراین در مورد نمونه‌های مطالعه شده در این تحقیق می‌توان احتمال داد که مولکول‌های هگزان در سل‌های با نسبت مولی ۲۴۰ نه تنها وارد هسته آب گریز مایسلی نشده‌اند، بلکه به نظر می‌رسد حضور این افروندنی مانع تشکیل آن‌ها نیز شده است. با در نظر گرفتن نتایج مربوط به آنالیز DLS سل بدون هگزان و با همین ترتیب که به مدت ۱ روز در دمای ۵۰°C پیرسازی شده است، می‌توان به علت تاثیر منفی هگزان بر اتصال یونیمرهای P123 و شکل‌گیری مایسل‌ها پی برد (شکل ۳).



شکل ۳- منحنی‌های حاصل از تست 0-1D DLS سل

بلندترین قله ایجاد شده در منحنی شدت شکل ۳، مربوط به خوش‌های بزرگ مایسل‌ها بوده و قلل دیگر نیز مرتبط با خوش‌های کوچک و دوتایی‌ها در سل است. این مقادیر تفاوت بسیار زیادی را با اندازه‌های موجود در منحنی شدت سل‌های گروه 240-1D را در شکل ۱ نشان می‌دهد، به نحوی که در سل‌های هگزان دار اندازه تجمع‌های یونیمری حداقل به $\sim 5\text{ nm}$ رسیده است. بنابراین می‌توان نتیجه گرفت که شرایط سل با افزودن هگزان بسیار تغییر کرده و به نظر می‌رسد تجمع ترجیحی از یونیمرها، مولکول‌های هگزان و اجزای هیدرولیز شده TTIP در محیط حلال به وقوع نپیوسته است. با توجه به این که تنها عامل

تاثیرگذار در این تغییر رفتار حضور حجم بالای هگزان در سل‌های 240-1D است، می‌توان دو علت را برای توجیه این تفاوت‌ها بیان نمود. یکی از این دو علت به ترمودینامیک تشکیل مایسل از یونیمرها مربوط می‌شود. در واقع به نظر می‌رسد حجم بالای هگزان منجر به کاهش نیروی محرکه مایسلی شدن یونیمرهای P123 که همان غلبه کاهش انرژی سطحی یونیمرها بر اثر اتصال با هم بر افزایش انتروپی ناشی از حضور یونیمرهای منفرد است، گردیده است [۱۸]. که این مطلب با توجه به بیشتر بودن غلظت پلیمر در الکل از مقدار CMC، بسیار جالب توجه است. عامل دیگر می‌تواند تاثیر گذاری‌سینتیک انجام فرایندها و زمان بر بودن تجمع یونیمرها بر شکل گیری مایسل‌ها باشد [۱۶]. با در نظر گرفتن این مورد، به نظر می‌رسد به سبب ممانعت فضایی یا انرژی‌تکی مولکول‌های هگزان، نیاز به زمان طولانی‌تری است تا یونیمرها بتوانند به یکدیگر متصل شوند. به این معنی که احتمالاً زمان لازم برای رخداد تشکیل مایسل‌ها و ورود هگزان به آن‌ها فراهم نشده است. زیرا تبدیل یونیمرها به مایسل‌ها فراینده زمان بر است (در قسمت مربوط به تاثیر زمان پیرسازی توضیح بیشتری در این رابطه داده خواهد شد). بنابراین به نظر می‌رسد با افزایش زمان پیرسازی از ۱ روز به ۱۴ روز، شرایط بهتری از نظر توزیع اندازه ایجاد شود.

در مقایسه با سل‌های هگزان دارسترن شده در این تحقیق، در سیستم سیلیکای مزومتخلل با افزودنی هگزان، اشکالی در تشکیل مایسل‌های P123 و ورود هگزان به هسته آن‌ها گزارش نگردیده است [۱۹]. برای درک این تفاوت قابل توجه بین دو سیستم مذکور باید به نیروهای عمل کننده بین اجزا در دو سیستم اشاره کرد. در سل‌های تشکیل دهنده سیلیکای مزومتخلل فومی، یونیمرهای P123 از یک سو در ارتباط با حلال آبو اجزای غیر آلی هیدرولیز شده Si-O هستند و از سوی دیگر در میان کنش با مولکول‌های آب گریز هگزان می‌باشند. در چنین حالتی از نظر ترمودینامیکی هگزان وارد هسته مایسل که بلوك‌های آب گریز P123 یعنی پلی پروپیلن‌ها (PPO) می‌شود [۱۷]. به بیان دیگر از طریق اتصال PEO‌ها به Si-O هاست که مایسل‌ها می‌توانند به عنوان قالب عمل نموده و پس از کلسیناسیون و خروج دیواره غیر آلی را برجای می‌گذارند. بنابراین این احتمال دور از انتظار نیست که قدرت اتصال جزء هیدرولیز شده به بلوك PEO بر میزان قدرت اتصال بلوك‌های PPO و هگزان نیز تاثیر گذار باشد. زیرا طول این مولکول‌ها آن قدر زیاد نیست که در میدان عمل نیروهای بین مولکولی اجزا قرار نگیرند. در نتیجه نوع پیش ماده آلكوکسیدی بر قدرت اتصال PPO به هگزان نیز می‌تواند اثر داشته باشد. علاوه بر آن پیش ماده TTIP آلكوکسیدی در مقایسه با پیش ماده‌هایی که به طور مرسوم در سنترن سیلیکای مزومتخلل استفاده می‌شود مانند TEOS، بسیار فعال‌تر بوده و الکترونگاتیویته بالایی دارد، به نحوی که برای کنترل هیدرولیز آن نیاز به افزودنی مانند ACAC علاوه بر شرایط حاد اسیدی است [۱۹]. در نتیجه قدرت پیوند هیدرولیزی و اتصالی که TTIP با P123 برقرار می‌کند نیز بسیار قوی‌تر از TEOS با P123 بوده و همین امر میزان هگزانی را که قادر به وارد شدن به مایسل بدون ضریب زدن به ساختار باشد را محدود می‌نماید.

۳-۲- بررسی تاثیر نحوه افزودن هگزان

با توجه به نتایج شکل ۱ و توضیحاتی که درباره عدم مایسلی شدن در سل‌های 240-1D در قسمت قبل داده شد، نمی‌توان از تاثیر نحوه اضافه کردن هگزان چشم پوشید. به منظور دست‌یابی به هدف نفوذ هگزان به هسته مایسل‌ها، لازم است شرایطی فرهم شود تا این مولکول‌ها بتوانند در بیش ترین اتصال با بلوك‌های PPO قرار بگیرند، در عین این که به ارتباط پلیمر با دیگر اجزا نیز صدمه‌ای وارد نشود. افزودن هگزان پس از هیدرولیز (240-1D-Hex @ END) موجب کوچکتر شدن خوش‌های

یونیمری یا هرگونه تجمعی در سل در مقایسه با دیگر روش‌ها شده است. زیرا قله نمودارهای مربوط به آن نسبت به بقیه سل‌ها در اندازه‌های کوچک‌تری واقع شده است (شکل ۱). در واقع زمانی که مرحله هیدرولیز به وسیله افزودن آب و اسید صورت می‌گیرد و محلول‌های حاوی P123 و TTIP به یکدیگر افروده شده‌اند، مایسل‌های P123 از طریق بلوك PEO با گروه‌های TTIP که تا حدی هیدرولیز شده‌اند، پیوند هیدرولیزی برقرار می‌کنند [۱۶]. در چنین شرایطی هنگامی که هگزان با نسبت مولی ۲۴۰ به این سل اضافه می‌شود، کل اتصالات شکل گرفته به هم خواهد ریخت؛ زیرا در این مرحله ورود هگزان به درون مایسل‌ها و اتصال با بلوك‌های PPO، مستلزم عبور از پوسته غیر آلی هیدرولیز شده و تخریب مزوسانختار حاصل شده از مراحل قبل است. علاوه بر آن پس از افودن هگزان سیستم مجدداً قادر به تشکیل مایسل به دلایلی که پیش از این به آن‌ها اشاره شد، نمی‌باشد. در نتیجه مواجه با سلی خواهیم بود که در آن حتی خوش‌های یونیمری نیز صدمه خورده‌اند. لذا توزیع اندازه به سمت چپ نمودار یعنی اندازه‌های کوچک‌تر منتقل می‌شود. اما درباره دو سل دیگر چنان چه منحنی شدت در نظر گرفته شود، افودن هگزان به محلول AcAc و اتانول از نظر افزایش اندازه خوش‌ها و نزدیک شدن به شرایط تشکیل مایسل‌ها ارجحیت دارد، در حالی که در منحنی حجم حضور هگزان در محلول P123 و اتانول نتیجه بهتری را از این جنبه در پی دارد. چنان چه به لحاظ اعتباری منحنی شدت انتخاب شود، می‌بایست افزودنی را به محلول شماره (۲) اضافه کرد و این روشی است که برای سنتز سل‌های D-60-1D و 60-14D نیز استفاده شد. البته انتظار تفاوت‌های چشمگیری در چنین سیستمی را از نظر تشکیل خوش‌ها نباید داشت. آن چه مسلم است در هر سه مورد تشکیل مایسل‌ها با مشکل جدی مواجه شده است.

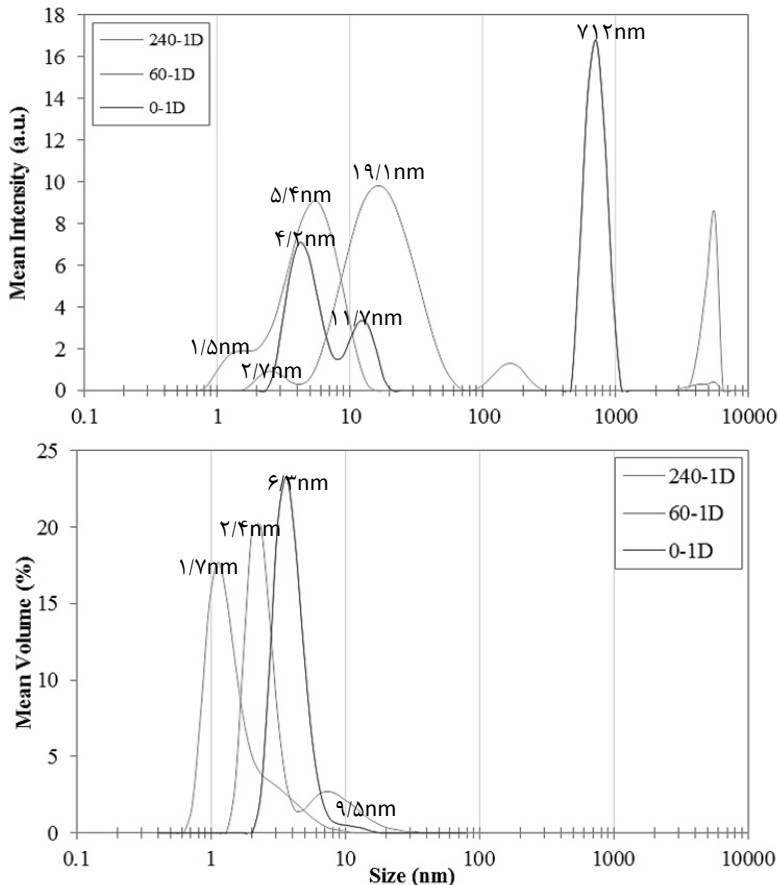
مطلوب دیگر دو قله‌ای بودن اکثر منحنی‌ها در شکل ۱ است که علت را می‌توان احتمالاً به تشکیل خوش‌های یونیمری یا اتصال چند یونیمر به هم در سل نسبت داد. این امر نشان می‌دهد که زمان پیرسازی کم به اجزای حاضر در سل اجازه رسیدن به یکنواختی را از جهت اندازه نداده است و در قسمت‌های مختلف سل تجمع‌های مختلف با اندازه‌های متفاوت از یونیمرها وجود دارد. زیرا همان طور که پیش از این اشاره شد، به هم پیوستن یونیمرها به یکدیگر پدیده‌ای زمان بر است [۱۶]. قله‌های دیگری که در منحنی‌ها در اندازه‌های بسیار بزرگ دیده می‌شود، نیز می‌تواند مربوط به آلودگی‌هایی مانند ذرات میکرونی غبار هوا باشد که حين سنتز یا آنالیز وارد سل‌ها شده‌اند.

۳-۳- تاثیر نسبت مولی هگزان به پلیمر P123

در شکل ۴ نتایج تست DLS سل‌های 240-1D، 60-1D و 0-1D نشان شده است. مجدداً لازم به ذکر است که در تهیه این سل‌ها هگزان به محلول حاوی AcAc و اتانول اضافه شده است.

با در نظر گرفتن منحنی شدت، چنین به دست می‌آید که در نسبت مولی ۶۰ مایسلی شدن در سل به وقوع پیوسته است. حضور قله $19/1\text{ nm}$ در منحنی شدت این نمونه می‌تواند علامت تخلخلی MCF تشکیل شده در مورد سیستم سیلیکا قرار دارد به P123 در این سل معادل $9/0$ است که در محدوده ساختار تخلخلی MCF تشکیل شده باشد. قابل ذکر است که نسبت جرمی هگزان با همچنان اثربخشی از تاثیر قابل ملاحظه هگزان بر افزایش اندازه تجمع یونیمرهای کوبلیمر بلوكی دیده نمی‌شود و در [۱۷]. اما همچنان اثربخشی از تاثیر قابل ملاحظه هگزان بر افزایش اندازه قله‌ها بسیار کوچک‌تر است. با در نظر گرفتن منحنی حجم نیز مقایسه با منحنی‌های سل D-0-1D نیز همچنان مقادیر توزیع اندازه قله‌ها بسیار کوچک‌تر است. با در نظر گرفتن منحنی حجم نیز باز مشاهده می‌شود که قله‌های مربوط به نمونه D-1D-60 در اندازه‌های بزرگ‌تری نسبت به D-1D-240 قرار دارند. با توجه به نتایج فوق می‌توان گفت نسبت مولی ۶۰ مقداری است که احتمالاً هگزان می‌تواند وارد مایسل شود. البته علت دیگر افزایش اندازه

می‌تواند ناشی از افزایش مربوط به اتصال مایسل‌ها و تشکیل تجمع‌هایی از آن‌ها باشد. نکته قابل توجه دیگر این است که هر دوی منحنی‌های شدت بر حسب اندازه دو قله‌ای یا چند قله‌ای هستند که این مطلب نشان دهنده یکنواخت نبودن توزیع اندازه‌های خوش‌های یونیمری یا مایسلی است؛ به این معنی که شرایط آماده سازی سل به گونه‌ای نیست که طی آن تمامی یونیمرها بتوانند به یک پایداری شکلی و اندازه‌ای دست پیدا کنند و تثبیت شوند. بنابراین زمان پیرسازی ۱۴ روز برای نسبت مولی ۶۰ در نظر گرفته شد.

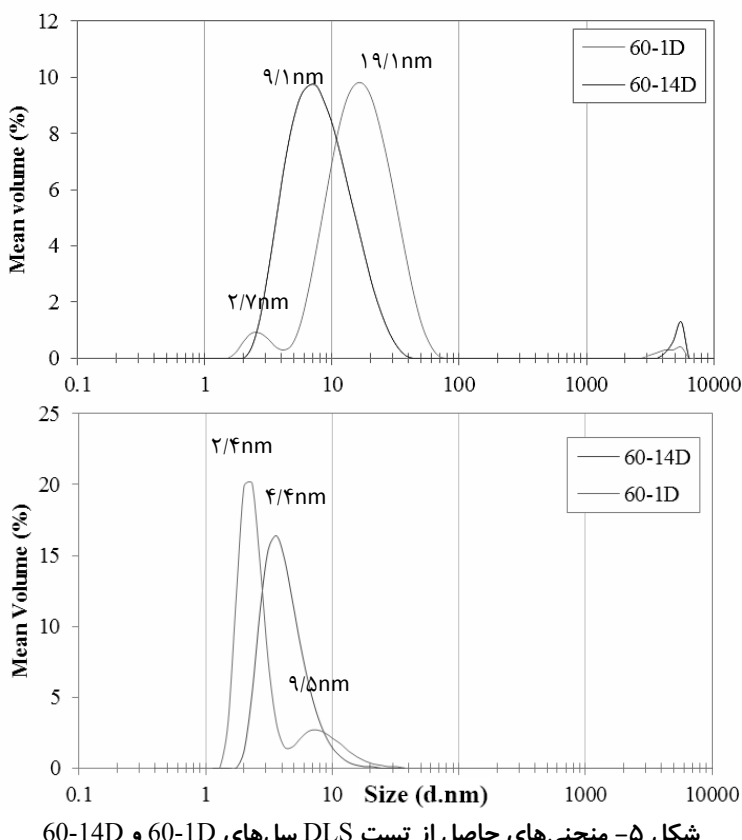


شکل ۴- منحنی‌های حاصل از تست DLS سل‌های 240-1D و 60-1D

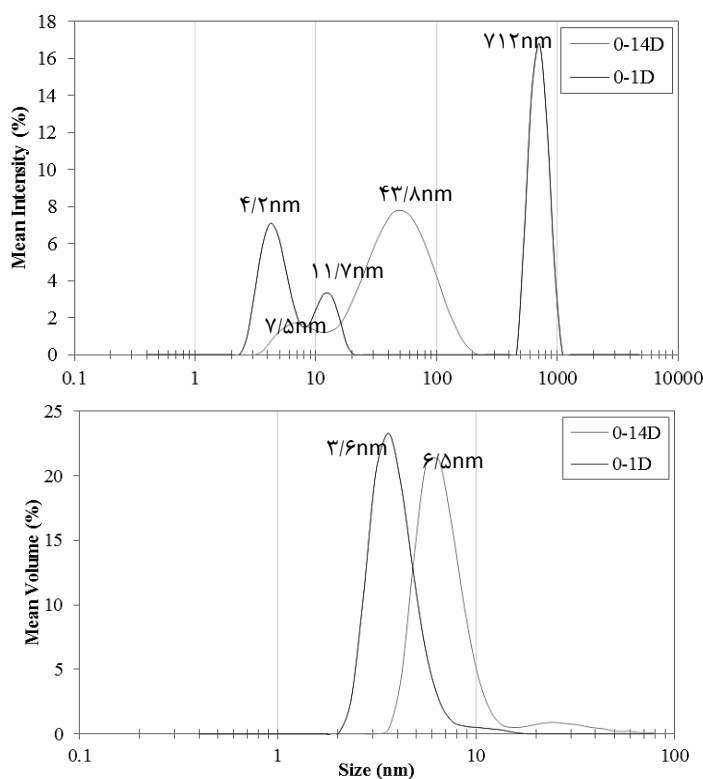
۴-۳- تاثیر زمان پیرسازی

نتایج آنالیز DLS سل‌های 0-1D، 0-14D، 60-1D و 60-14D در شکل‌های ۵ و ۶ دیده می‌شود. به این در منحنی‌های سل‌ها با نسبت مولی $H/P=60$ (شکل ۵) تاثیر مثبت زمان پیرسازی ۱۴ روز بر سل به وضوح دیده می‌شود. به این ترتیب که تمام منحنی‌های سل 60-14D تک قله‌ای شده‌اند. از نظر توزیع اندازه نیز در منحنی حجم افزایش دیده می‌شود، اما در منحنی شدت قله نمودار در اندازه کمتری نسبت به 60-1D واقع شده است. با این حال همچنان اندازه آن در حد مایسل‌های P123 است [۱۶] و تاثیر قابل ملاحظه‌ای از حضور هگزان در افزایش این اندازه دیده نمی‌شود. در منحنی‌های مربوط به سل بدون هگزان (شکل ۶) نیز با افزایش زمان پیرسازی از ۱ روز به ۱۴ روز، توزیع اندازه یکنواخت‌تر شده است و اندازه قله منحنی‌ها

کوچکتر شده‌اند. علت تاثیر مثبت افزایش زمان پیرسازی بر رفتار مایسلی سل‌ها به زمان بر بودن فرایند تشکیل آن‌ها باز می‌گردد. در یک سیستم خالص از کوپلیمرهای پلورونیک در حلال، نیروهای مختلفی بین سرفکتانت و حلال حاکم است. این نیروها شامل: نیروهای بین سرگرهای (H-H)، سرگرهای (H-T)، حلال و سرگرهای (S-H)، حلال و حلال (S-S) و حلال و دم (S-T) می‌باشند [۱۶]. تمامی نیروهای فوق فیزیکی بوده و شیمیایی نمی‌باشند و لذا سد انرژی نسبتاً پایینی باعث پایداری تجمع‌های کوپلیمری می‌شود و در نهایت نیز سیالیت و نفوذپذیری بالا همراه با زمان‌های ماندگاری کوتاه برای آن‌ها انتظار می‌رود. البته در سیستم‌های قالبگیری هیبریدی مورد مطالعه ما می‌توان انتظار وضعیت بسیار پیچیده‌تری را از میان‌کنش‌های حاکم بین یونیمرها، مایسل‌ها، خوش‌ها و فضول مشترک آنها داشت که می‌تواند ناشی از حضور اسید، استیل استون و پیش‌ماده تیتانیمی باشد. بنابراین عامل زمان در سامان دهی رفتار کوپلیمر بلوکی تاثیر زیادی دارد. البته عامل زمان در کنار دما نیز تاثیر گذار است و نگه داری سل در دمای بالا و در زمان طولانی این فرصت را به سیستم پویای مایسلی می‌دهد تا از حالت تجمع‌های بزرگ به مایسل‌های منفصل تبدیل شوند. ذکر این نکته ضروری است که در سل‌های مایسلی، تبدیل مایسل به یونیمر و بالعکس دائماً در حال رخ دادن بوده و زنجیره‌های پلیمری قادر هستند که از یک تجمع مایسلی به اجتماع دیگری حرکت کنند. همین پویا بودن سیستم امکان تغییر بر اثر زمان و حرکت به سمت حالتی پایدارتر و با انرژی آزاد کم تر را فراهم می‌کند [۱۶]. البته در مقایسه منحنی شدت سل بدون هگزان با سل هگزان دار با نسبت مولی $H/P=60$ ، باز هم دیده می‌شود که در سل بدون هگزان توزیع اندازه قله‌ها در اندازه‌های بزرگ‌تری واقع شده است که به علل آن در قسمت ۱-۳ اشاره شد.



شکل ۵- منحنی‌های حاصل از تست DLS سل‌های 60-1D و 60-14D



شکل ۶- منحنی‌های حاصل از تست DLS سل‌های 0-1D و 0-14D

۴- نتیجه‌گیری

در این تحقیق سل‌های تیتانیمی با استفاده از پیش‌ماده TTIP، AcAc و کوپلیمر بلوكی P123 به عنوان سرفکتانت تهیه شدند. برای مطالعه تاثیر افزودنی هگزان بر رفتار مایسلی شدن یونیمرهای P123، از آنالیز پراکندگی نور دینامیک (DLS) استفاده شد. نتایج نشان داد که افزودنی هگزان تاثیر قابل ملاحظه‌ای بر شکل‌گیری مایسل‌ها گذاشته است، به نحوی که در مقایسه با سل بدون هگزان، خوش‌های یونیمری در سل‌های هگزان دار بسیار کوچک‌تر شده‌اند. همچنین افزودنی هگزان با نسبت مولی H/P معادل ۲۴۰ در سل‌ها، باعث ایجاد اشکال در فرایند مایسلی شدن گشته و از اتصال و تجمع یونیمرها به شکل مایسل ممانعت نموده است، اما در نسبت مولی ۶۰ شرایط سل نسبت به نسبت مولی ۲۴۰ بهتر شده و احتمال می‌رود که مایسل‌ها در این سل تشکیل شده باشند. همچنین زمان پیرسازی ۱۴ روز موجب یکنواختی و تثبیت سل از نظر اندازه مایسل‌ها شد. بنابراین نتایج، مرحله سنتز سل خصوصاً در نسبت مولی ۶۰ و زمان پیرسازی ۱۴ روز به لحاظ مایسلی شدن در مقایسه با سلی که ۱ روز پیرسازی شده بود، موفقیت آمیز بوده است.

مراجع

1. Nikos Lydakis-Simantiris, Despina Riga, Eleftheria Katsivela, Dionissios Mantzavinos, Nikolaos P. Xekoukoulotakis, "Disinfection of spring water and secondary treated municipal wastewater by TiO₂ photocatalysis," Elsevier, pp. 351-355, 2010.

2. M. Hussain, R. Ceccarelli, D. L. Marchisio, D. Fino, N. Russo, "Synthesis, characterization, and photocatalytic application of novel TiO₂nano particles," Chemical Engineering Journal, vol 157, pp. 45-51. 2010.
3. Fujishima, X. Zhang, D. A. Tryk, "TiO₂ photocatalysis and related surface phenomena", vol 63, pp. 515-582, 2008.
4. Guohui Tian, Honggang Fu, Liqiang Jing, Chungui Tian "Synthesis and photocatalytic activity of stable nanocrystalline TiO₂ with high crystallinity and large surface area", Journal of Hazardous Materials, vol 161, pp 1122-1130, 2009.
5. Dina Fattakhova-Rohlfing, Michael Wark, Torsten Brezesinski, Bernd M. Smarsly, Jirí Rathouský "Highly Organized Mesoporous TiO₂ Films with Controlled Crystallinity: A Li-Insertion Study," Adv. Funct. Mater, vol17, pp. 123-132, 2007.
6. Wee Yong Gan, Huijun Zhao, Rose Amal "Photoelectrocatalytic activity of mesoporous TiO₂ thin film electrodes," Applied Catalysis A: General, vol 354, pp. 8-16, 2009.
7. K. S. W. Sing, D. H. Everett, R. A. W. Haul, L. Moscou, R. A. Pierotti, J. Rouquérol, T. Siemieniewska, "Reporting physisorption data for gas/solid systems with special reference to the determination of surface area and porosity," Pure&Appl. Chem, vol 57, pp. 603-619, 1985.
8. Y. Wan and D. Zhao "On the Controllable Soft-Templating Approach to Mesoporous Silicates," Chemical Reviews, vol 7, issue 107, pp. 2821-2860, 2007.
9. L. Samie, A. Beitollahi, N. Faal- Nazari, M. M. Akbar Nejad, A. Vinu "Effect of humidity treatment on the structure and photocatalytic properties of titania mesoporous powder," J Mater Sci: Mater Electron, vol 22, pp. 273-280, 2011.
10. S. Rehman, R. Ullah, A. M. Butt, N. D. Gohar "Strategies of making TiO₂and ZnO visible light active", vol 170, pp. 560-569, 2009.
11. R. Zukerman, L. Vradman, L. Titelman, L. Zeiri, N. Perkas, A. Gedanken, M. V. Landau, M. Herskowitz, "Effect of SBA-15microporosity on the inserted TiO₂ crystal size determined by Raman spectroscopy," Materials Chemistry and Physics, vol 122, pp. 53-59, 2010.
12. Shenmin Zhu, Di Zhang, Xingchen Zhang, Le Zhang, Xiongwei Ma, Yunlu Zhang, Min Cai, "Sonochemical incorporation of nanosized TiO₂ inside mesoporous silica with high photocatalytic performance," Microporous and Mesoporous Materials, vol 126, pp. 20-25, 2009.

13. D. Zhao, J. Feng, Q. Huo, N. Melosh, G. H. Fredrickson, B. F. Chmelka and G. D. Stucky "Triblock Copolymer Syntheses of Mesoporous Silica with Periodic 50to 300Angstrom Pores", Science, vol 279, issue 5350, pp. 548-552, 1998.
14. R. Nagarajan "Solubilization of Guest Molecules into Polymeric Aggregates," Polym. Adv. Technol., vol 12, pp. 23-43, 2001.
15. Levine, Physical Chemistry, New York: McGraw-Hill, 2002.
۱۶. ل. سمیعی، "بررسی عوامل فرایند و شرایط عملیات حرارتی بر خواص فیزیکی و ریزساختار پودرهای مزوپور اکسید تیتانیم"، رساله دکتری مهندسی مواد، دانشکده مهندسی مواد و متالورژی، دانشگاه علم و صنعت ایران، ۱۳۸۹.
17. J. S. Lettow, Y. J. Han, P. Schmidt-Winkel, P. Yang, D. Zhao, G. D. Stucky, J. Y. Ying "Hexagonal to Mesocellular Foam Phase Transition in Polymer-Templated Mesoporous Silicas", Langmuir, vol 16, issue 22, pp. 8291-8295, 2000.
18. G. Gao, nanostructures and nano materials: Synthesis, Properties & Application, Imperial college press, 2004.
19. Oja Acik, J. Madarász, M. Krunks1, K. Tonsuaadu, G. Pokol and L. Niinistö "Titanium(IV) Acetylacetone Xerogels for Processing Titania Films a Thermoanalytical Study", Journal of Thermal Analysis and Calorimetry, vol 97, issue 1, pp. 39-45, 2009.
20. E. M. Johansson "Controlling the Pore Size and Morphology of Mesoporous Silica," Doctoral Dissertation, Department of Physics, Chemistry and Biology (IFM), Linköping Studies in Science and Technology, Sweden, 2010.
21. B. Mazinani, A. Beitollahi, A. K. Masrom, N. Yahya, T. S. Y. Choong, S. M. Ibrahim, J. Javadpour, "Characterization and evaluation of the photocatalytic properties of wormhole-like mesoporous silica incorporating TiO₂, prepared using different hydrothermal and calcination temperatures," Res Chem Intermed, 2012.
22. L. Zhao, Y. Yu, L. Song, M. Ruan, X. Hu, A. Larbot "Preparation of mesoporous titania film using nonionic triblock copolymer as surfactant template", Applied Catalysis, vol 263, pp. 171-177, 2004.
23. Jiaguo Yu, Jiajie Fan and Kangle Lv "Anatase TiO₂ nanosheets with exposed (001) facets: improved photoelectric conversion efficiency in dye-sensitized solar cells," Nanoscale, vol 2, pp. 2144-2149, 2010.
24. Jin Ho Bang, Prashant V. Kamat, "Solar Cells by Design: Photoelectrochemistry of TiO₂ Nanorod Arrays Decorated with CdSe," Advanced Functional Materials, vol 20, pp. 1970-1976, 2010.

25. Benjamin J. Morgan and Graeme W. Watson "Intrinsic n-type Defect Formation in TiO₂: A Comparison of Rutile and Anatase from GGA+U Calculations," *J. Phys. Chem. C*, vol 114, pp. 2321-2328, 2010.
26. T. Miyasaka "Toward Printable Sensitized Mesoscopic Solar Cells: Light-Harvesting Management with Thin TiO₂Films," *J. Phys. Chem. Lett*, vol 2, pp. 262-269, 2011.
27. R. Xu, W. Pang, J. Yu, Q. Huo, J. Chen, *Chemistry of zeolites and related porous materials: synthesis and structure*, Willey, 2007.
28. K. Akurati, "Synthesis of TiO₂ based nanoparticles for photocatalytic applications", Gottingen: Cuvillier Verlag, 2008.